

基研シンポ, Mar. 18, 1998

重イオン反応と核物質の相

北海道大学 大西 明

1. Introduction

- ★ 現在の”核反応”研究の課題
- ★ 核物質の相
- ★ 核物質の液相・気相相転移と多重破砕
- ★ 分子動力学の成功例と失敗例

2. 波束の統計力学

- ★ 波束基底による分配関数の評価
- ★ 原子核のカロリー曲線
- ★ 原子核の熱破砕

3. 重イオン反応への応用

- ★ 量子揺らぎを含む分子動力学
- ★ 重イオン反応での多重破砕の記述

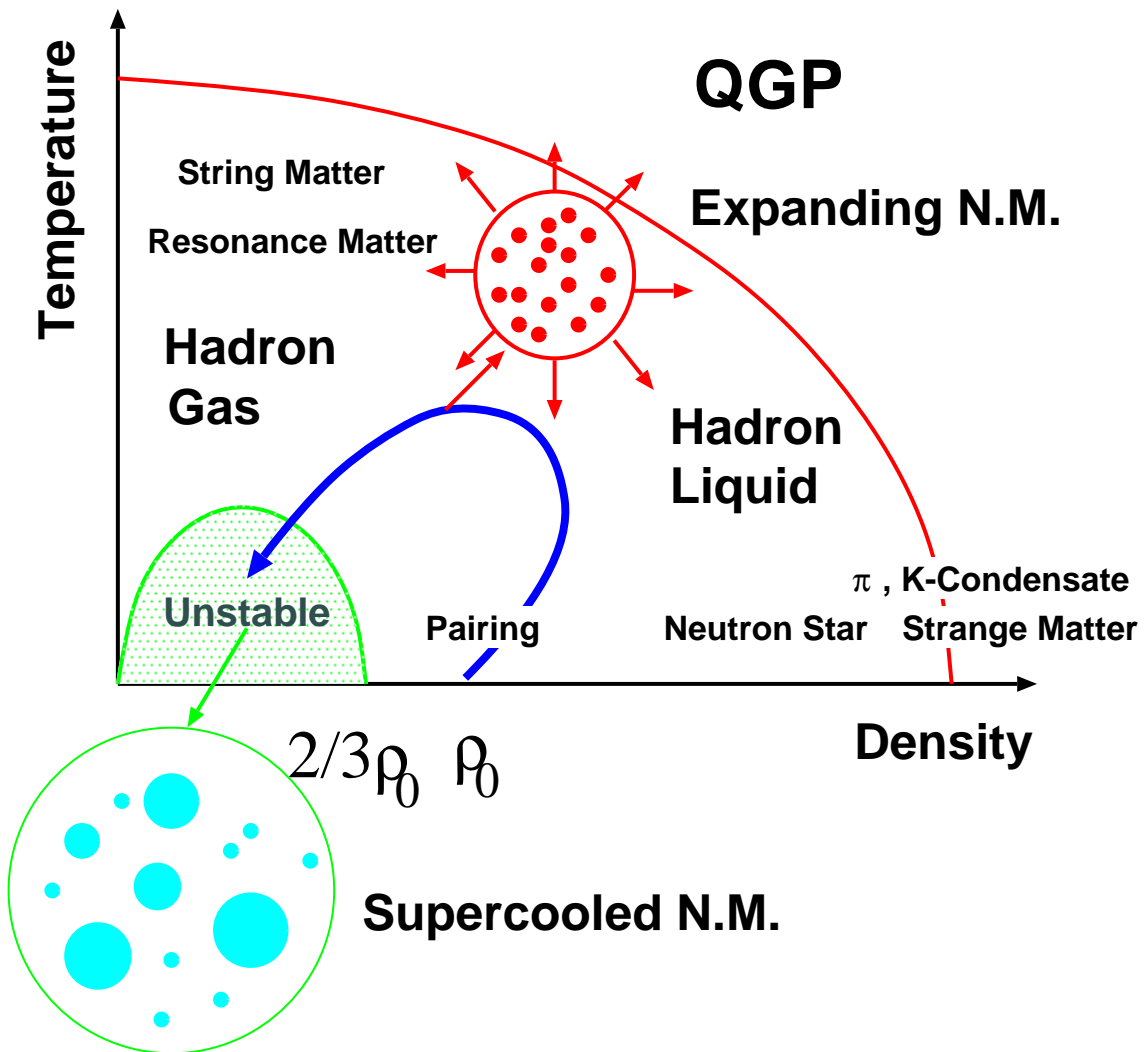
4. まとめと今後の展望

現在の”核反応”研究の課題

- ★ 新しい原子核を作る/大きさを測る/励起状態を調べる
中性子過剰核、超重核、ハイパー核、ダブル・ハイパー核、
...
 - ★ 核構造を調べる
原子核の電磁氣的応答、スピン応答、アイソスピン応答、
超変形、高速回転、バリア以下の核融合、...
 - ★ 反応機構を調べる
核分裂、多重破砕、...
 - ★ 宇宙を調べる
天体核反応、核物質の状態方程式、...
 - ★ ハドロンを調べる
ハドロン内部構造、核内でのハドロンの性質の変化、ハドロン間相互作用、...
 - ★ 核物質を調べる
核物質の状態方程式、粒子生成、多重破砕、...
 - ★ ハドロン物質を調べる
状態方程式、粒子生成、核内ハドロン、クォーク・グルーオン・プラズマ、パートンの動力学、...
- 私が目指す物理
 1. 様々なハドロンの”相”の研究 = ”ハドロン物性物理学”
 2. 相転移とその動的過程への影響

様々なハドロン物質の相

= 重イオン物理の最大の目標のひとつ



● いかにして相の性質を引き出すか？

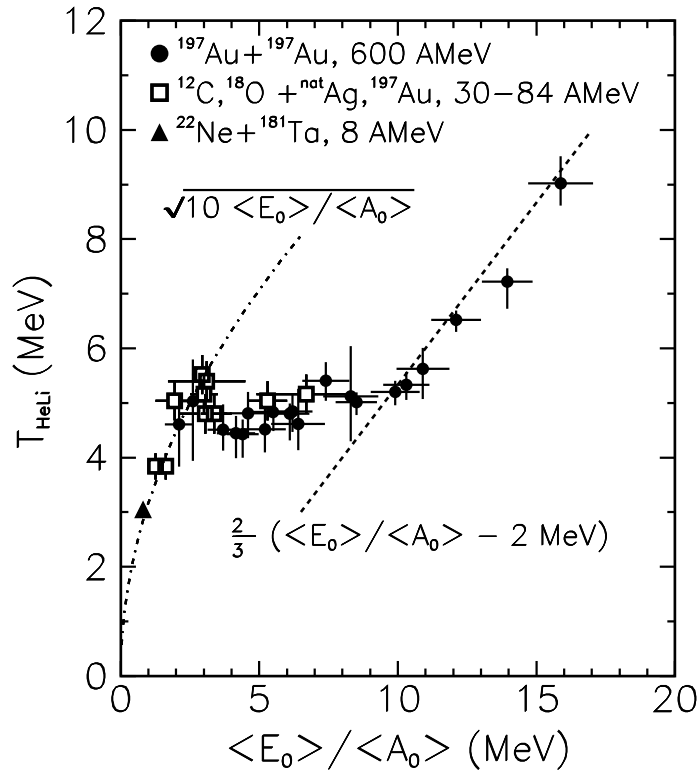
- ★ QCD 相転移 (c.f. 森松)
- ★ Pairing 相転移 (c.f. 清水)
- ★ 共鳴ハドロン物質
- ★ ストレンジ物質
- ★ 液相・気相相転移

...

原子核のカロリー曲線と液相・気相相転移

● Caloric Curve

J.Pochadzalla et al., PRL75('95),1040.



Low- T : $E^*/A = aT^2 \leftrightarrow$ High- T : $E^* = 1.5T + c$

量子統計的相 \leftrightarrow 古典統計的相

★ 期待されているシナリオ

1 次相転移 \rightarrow 過冷却された核子気体相 \rightarrow 多重破碎
(核子でも核分裂片でもない中間質量片 (IMF) の増加)

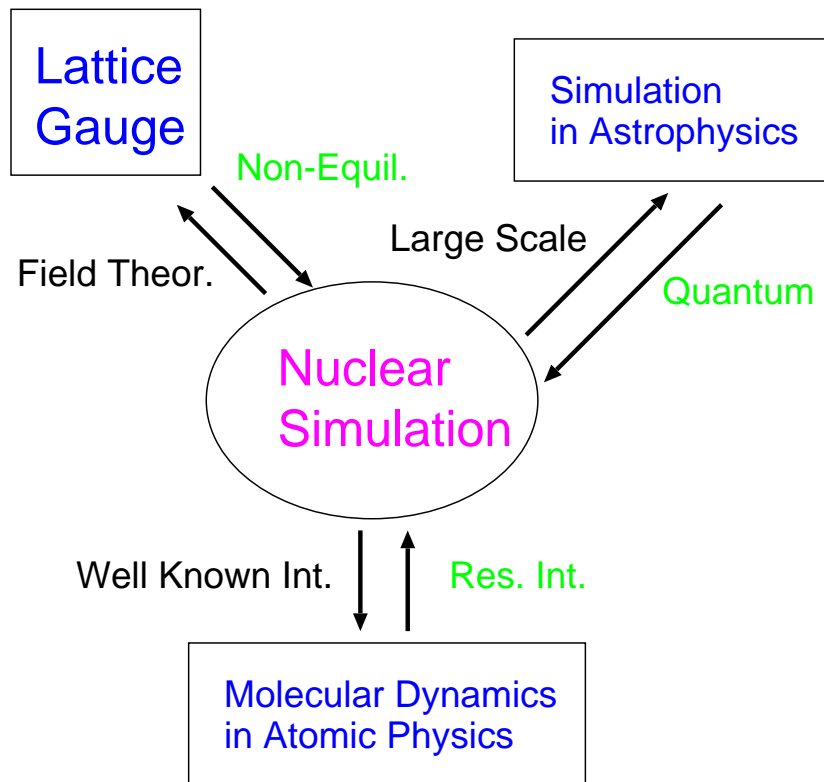
★ 問題点

★ 他のフラグメント生成機構との競合

★ 熱平衡に達しているか？

\rightarrow 反応過程を仮定しない微視的なモデルによる分析が必要。

原子核反応のシミュレーション



分子動力学=(半) 古典的粒子シミュレーション

= (パラメータ化された) 積波動関数 (\leftrightarrow 粒子描像)

$$|\Psi_Z\rangle = (\mathcal{A}) \prod_i |\phi(\mathbf{r}_i; \mathbf{Z}_j)\rangle \quad (\mathbf{Z}_j; \text{パラメータ} \approx \text{位相空間})$$

+ 時間依存変分原理から得られる運動方程式 (\leftrightarrow 平均場)

$$\mathcal{L} = \frac{\langle \Psi_Z | i\hbar \partial / \partial t - \hat{H} | \Psi_Z \rangle}{\langle \Psi_Z | \Psi_Z \rangle}$$

$$\rightarrow \dot{R}_i = \frac{\partial \mathcal{H}}{\partial P_i}, \quad \dot{P}_i = -\frac{\partial \mathcal{H}}{\partial R_i} \quad \left(\mathcal{H} = \frac{\langle \Psi_Z | \hat{H} | \Psi_Z \rangle}{\langle \Psi_Z | \Psi_Z \rangle} \right)$$

($R = R(\mathbf{Z}), P = P(\mathbf{Z})$ は正準変数)

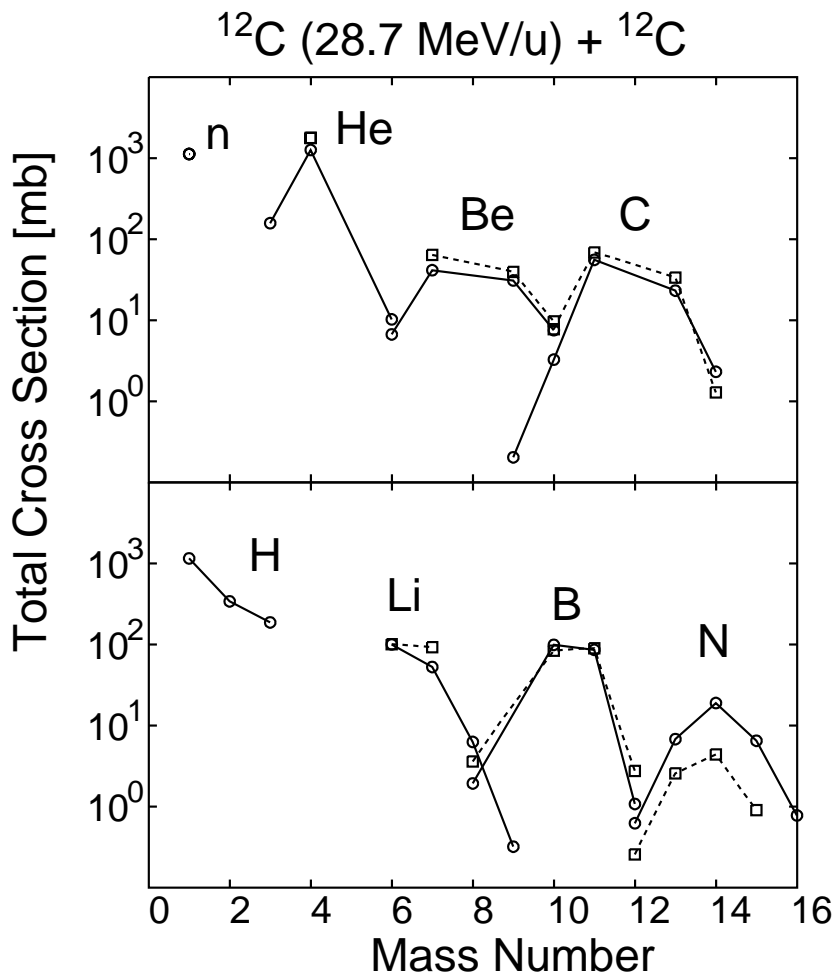
+ 残留相互作用

(\leftrightarrow 粒子衝突, 粒子生成, 粒子崩壊, 揺らぎ ...)

反対称化分子動力学 (AMD) の重イオン反応への適用例

Ono, et al., PRC47('93),2652.

- $^{12}\text{C}(28.3 \text{ MeV/A}) + ^{12}\text{C}$ 反応からのフラグメント 生成確率



Calc.: Solid lines, Exp.: Dashed lines

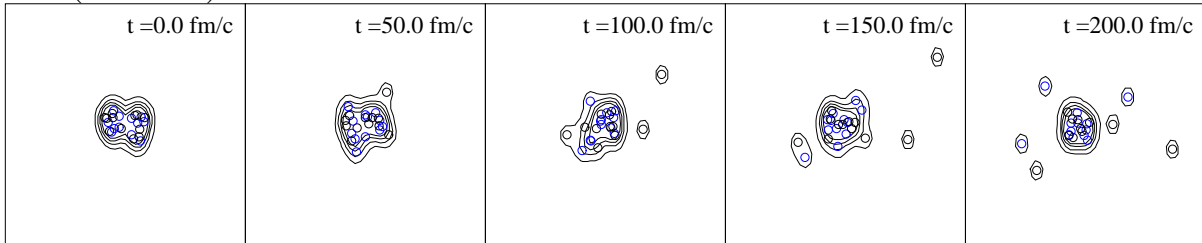
アイソトープ分布まで含めて実験を非常によく再現

原子核反応のエネルギー依存性

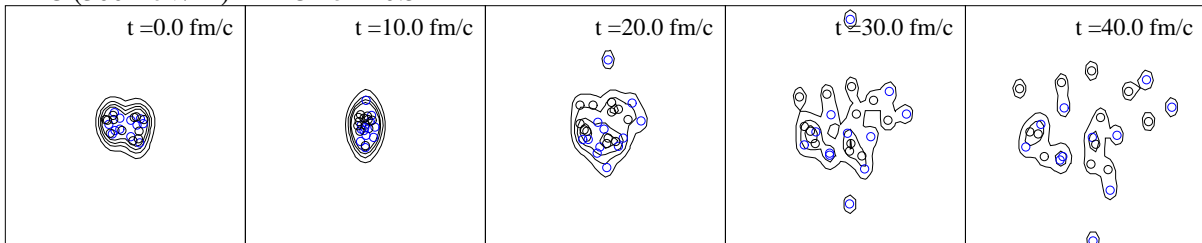
— 大きな残留相互作用と揺らぎ (破砕、粒子生成、...)

Y.Nara, Ph. D., March 1996.

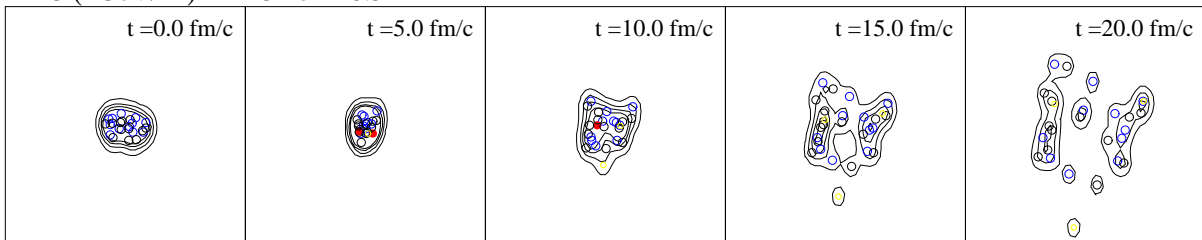
12C (10MeV/A) +12C $b = 0.5$ fm



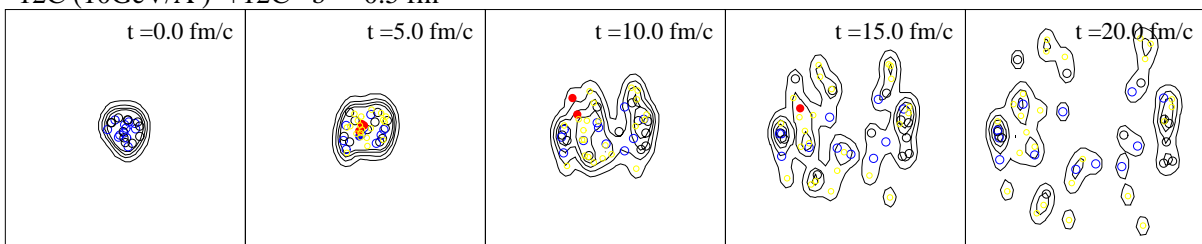
12C (300MeV/A) +12C $b = 0.5$ fm



12C (1GeV/A) +12C $b = 0.5$ fm



12C (10GeV/A) +12C $b = 0.5$ fm



分子動力学の問題点

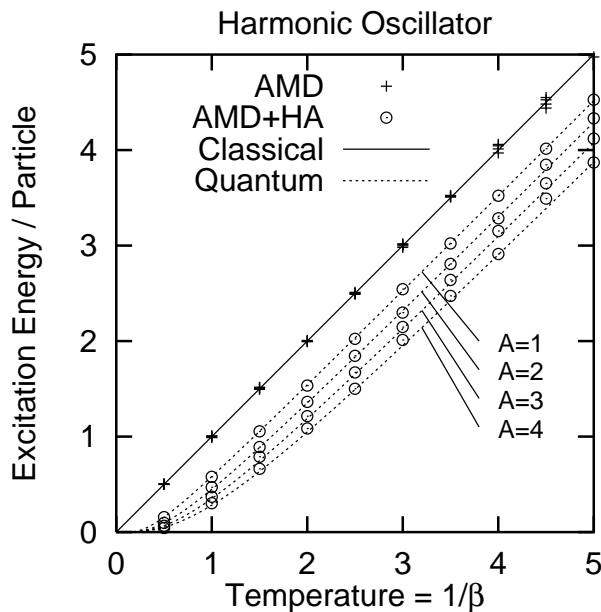
- 分子動力学の統計的性質

- ★ 運動方程式から期待される分配関数

$$\mathcal{Z} = \int d\Gamma \exp(-\beta\mathcal{H})$$

→ 低温でも $E^* \propto 1/\beta \equiv T \dots$ 古典的？

- ★ 基底状態 $\mathcal{H} = E_{g.s.}$ が担う分配関数 ≈ 0
(パラメータ空間では1点)



(A.O. and J.Randrup, NPA 565('93),474.)

- 解決方法

1. β の再解釈と波動関数自体の分析

Schnack-Feldmeier, NPA 601('96), 181, Ono-Horiuchi, PRC53 ('96), 2341.

パラメータ空間では古典統計となるが、波動関数で見れば量子統計性がみえる。しかし、フラグメント生成にはこの量子統計性は効果無し。

2. 量子揺らぎを含む分子動力学

Ohnishi-Randrup, 1993-; Ono-Horiuchi, PRC53 ('96)845, PRC53('96), 2958.)

波束基底の統計力学から

量子揺らぎを含む分子動力学へ

問題: 波束 $|\Psi_Z\rangle$ はハミルトニアン固有状態ではない。
= エネルギーに揺らぎがある

- 平衡状態: 分配関数を求めればよい

$$\mathcal{Z}_\beta \equiv \text{Tr}(\exp(-\beta\hat{H})) = \int d\Gamma_Z \mathcal{W}_\beta(\mathbf{Z})$$

$$\begin{aligned}\mathcal{W}_\beta(\mathbf{Z}) &= \langle \Psi_Z | \exp(-\beta\hat{H}) | \Psi_Z \rangle = \exp(-\mathcal{F}(\mathbf{Z})) \\ &\neq \exp(-\beta\mathcal{H})\end{aligned}$$

- 非平衡状態: 平衡状態に近付いて行く方程式を作る

★ $\mathcal{W}_\beta(\mathbf{Z})$ を平衡分布とするフォッカー・プランク方程式

$$\frac{D\phi(\mathbf{Z};t)}{Dt} = \frac{\partial}{\partial \mathbf{q}} \cdot \left(\mathbf{M} \cdot \frac{\partial \mathcal{F}}{\partial \mathbf{q}} + \mathbf{M} \cdot \frac{\partial}{\partial \mathbf{q}} \right) \phi ,$$

$$\{\mathbf{q}\} = \{\mathbf{r}, \mathbf{p}\}, \quad \mathbf{M} = \mathbf{g} \cdot \mathbf{g} : \text{Mobility Tensor}$$

★ 同値なランジュバン方程式 (量子ランジュバン方程式)

$$\frac{d\mathbf{p}}{dt} = - \frac{\partial \mathcal{H}}{\partial \mathbf{r}} - \mathbf{M}^p \cdot \frac{\partial \mathcal{F}}{\partial \mathbf{p}} + \mathbf{g}^p \cdot \zeta^p ,$$

$$\frac{d\mathbf{r}}{dt} = \frac{\partial \mathcal{H}}{\partial \mathbf{p}} - \mathbf{M}^r \cdot \frac{\partial \mathcal{F}}{\partial \mathbf{r}} + \mathbf{g}^r \cdot \zeta^r ,$$

正準方程式

Drift

Diffusion

→ 時間についての常微分方程式 = (数値的に) 解ける !

ボルツマン演算子による波束の歪曲

- 演算子の統計平均

$$\langle \hat{O} \rangle_{\beta} \equiv \frac{1}{Z_{\beta}} \text{Tr} (\hat{O} \exp(-\beta \hat{H})) = \frac{1}{Z_{\beta}} \int d\Gamma \mathcal{W}_{\beta}(\mathbf{Z}) \mathcal{O}_{\beta}(\mathbf{Z})$$

$$\mathcal{O}_{\beta}(\mathbf{Z}) \equiv \frac{\langle \Psi_{\mathbf{Z}}(\beta/2) | \hat{O} | \Psi_{\mathbf{Z}}(\beta/2) \rangle}{\mathcal{W}_{\beta}(\mathbf{Z})} \neq \langle \hat{O} \rangle$$

$$|\Psi_{\mathbf{Z}}(\beta/2)\rangle = \exp(-\beta \hat{H}/2) |\Psi_{\mathbf{Z}}\rangle$$

★ ”冷やされた”状態 $|\Psi_{\mathbf{Z}}(\beta/2)\rangle$ による
演算子期待値の Weighted average

★ $\mathcal{H}_{\beta} < \mathcal{H}$:

→ 量子統計的には波束はそれ自身の期待値より
低いエネルギーを運ぶ

- ボルツマン演算子による歪曲の分子動力学による表現:

虚時間推進 = 冷却方程式を $\tau = \beta\hbar/2$ まで解く

$$\frac{d\mathbf{p}}{d\tau} = -\frac{2\Delta p^2}{\hbar} \frac{\partial \mathcal{H}}{\partial \mathbf{p}}, \quad \frac{d\mathbf{r}}{d\tau} = \frac{2\Delta r^2}{\hbar} \frac{\partial \mathcal{H}}{\partial \mathbf{p}}.$$

いかにして統計重率 $\langle \Psi_Z | \exp(-\beta \hat{H}) | \Psi_Z \rangle$ を求めるか?

- 通常の高温展開

$$\mathcal{F}(\mathbf{Z}) \equiv -\log\{\langle \Psi_Z | \exp(-\beta \hat{H}) | \Psi_Z \rangle\} \approx \beta \mathcal{H} - \beta^2 \sigma^2 / 2$$

$$\sigma^2 \equiv \langle \hat{H}^2 \rangle - \langle \hat{H} \rangle^2$$

... $T = 1/\beta < \sigma^2/\mathcal{H}$ で破綻 ($\beta \rightarrow \infty$ で発散)

- 調和近似

$$\frac{d\mathcal{F}(\mathbf{Z})}{d\beta} = \mathcal{H}_\beta, \quad \frac{d\mathcal{H}_\beta}{d\beta} = -\sigma_\beta^2 < 0 \quad (\text{Exact})$$

★ \mathcal{H}_β は β の減少関数

★ 波束に少しでも基底状態が混じっていれば

$$\mathcal{H}_\beta \rightarrow E_{g.s.} (\beta \rightarrow \infty)$$

$$\mathcal{H}_\beta \approx (\mathcal{H} - E_{g.s.}) \exp(-\beta D) + E_{g.s.}$$

$$D \equiv \sigma^2 / (\mathcal{H} - E_{g.s.})$$

- 分子動力学による波束のエネルギー揺らぎの表現

$$\begin{aligned} \sigma^2(\mathbf{Z}) &= \frac{\partial \mathcal{H}}{\partial \mathbf{Z}} \cdot \mathbf{C} \cdot \frac{\partial \mathcal{H}}{\partial \bar{\mathbf{Z}}} \\ &= \Delta p^2 \frac{\partial \mathcal{H}}{\partial \mathbf{p}} \cdot \frac{\partial \mathcal{H}}{\partial \mathbf{p}} + \Delta r^2 \frac{\partial \mathcal{H}}{\partial \mathbf{r}} \cdot \frac{\partial \mathcal{H}}{\partial \mathbf{r}} \\ \mathbf{C} &= \frac{\partial^2}{\partial \bar{\mathbf{Z}} \partial \mathbf{Z}} \log(\langle \Psi_Z | \Psi_Z \rangle) \end{aligned}$$

Soluble Example

- One Particle in a Harmonic Oscillator

$$\hat{H} = \frac{\hat{p}^2}{2m} + \frac{m\omega^2 \hat{r}^2}{2}$$

$$\mathcal{H} = \hbar\omega \bar{Z}Z = \frac{p^2}{2m} + \frac{m\omega^2 r^2}{2} \quad \left(Z = \sqrt{\nu}r + \frac{ip}{2\hbar\sqrt{\nu}} \right)$$

$$D(\mathbf{Z}) \equiv \langle \mathbf{Z} | \hat{H}^2 - \mathcal{H}^2 | \mathbf{Z} \rangle / \mathcal{H} = \hbar\omega$$

$$\mathcal{W}_\beta(\mathbf{Z}) \equiv \langle \mathbf{Z} | \exp(-\beta\hat{H}) | \mathbf{Z} \rangle = \exp(-\alpha\beta\mathcal{H}) \quad \left(\alpha = \frac{1 - e^{-\beta\hbar\omega}}{\beta\hbar\omega} < 1 \right)$$

$$\langle \hat{H} \rangle_\beta^U \equiv \frac{1}{\mathcal{Z}_\beta} \int d\Gamma \mathcal{W}_\beta(\mathbf{Z}) \mathcal{H}(\mathbf{Z}) = \frac{T}{\alpha} > T$$

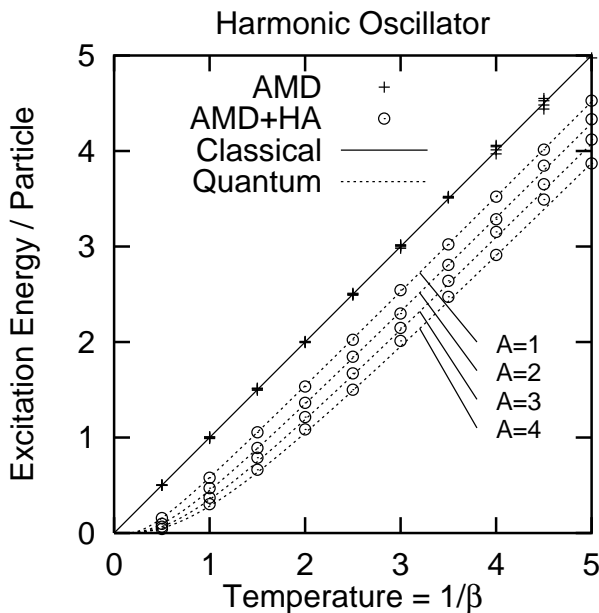
...w.o Distortion = Wrong !

$$\langle \hat{H} \rangle_\beta = \frac{1}{\mathcal{Z}_\beta} \int d\Gamma \mathcal{W}_\beta(\mathbf{Z}) \mathcal{H}_\beta(\mathbf{Z}) = \frac{\hbar\omega}{e^{\beta\hbar\omega} - 1} \quad \dots \text{Exact}$$

... Larger Fluctuations + Intrinsic Distortion = Exact

- Fermions in a Harmonic Oscillator

(A.O. and J.Randrup, NPA 565('93),474.)



Even with AntiSymm.,

$$E^* = T = 1/\beta$$

without σ_E^2 Effects

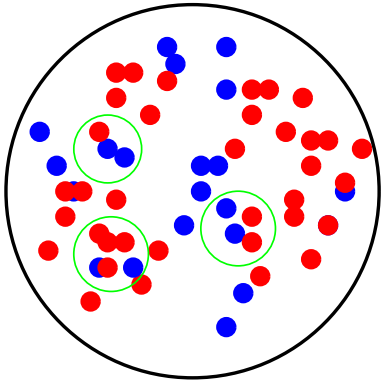
↓

Improved by H.A.

incl. A-dep.

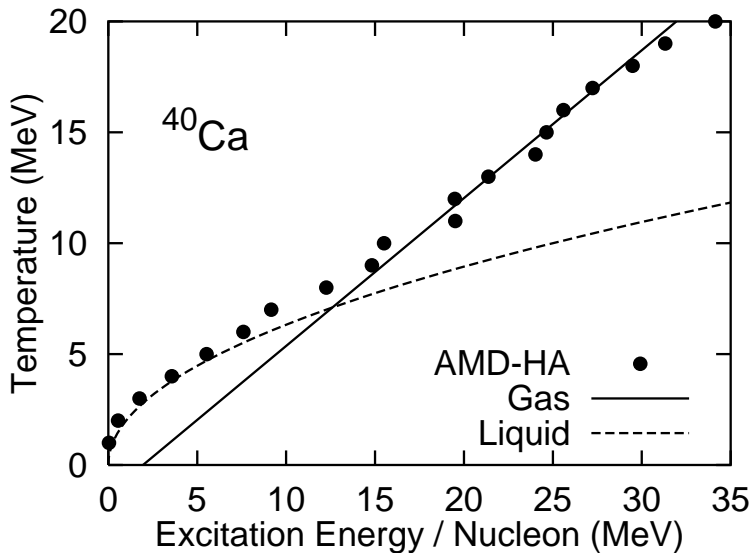
Statistical Properties of Nuclei

(A.O. and J.Randrup, PRL 75('95),596;AOP 253('97),279;
A.O. et al., Proc. NN97, NPA, in press.)



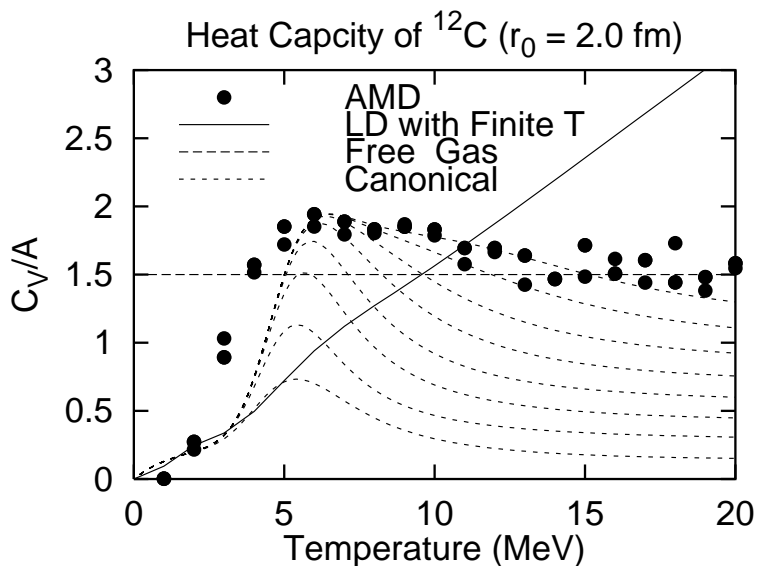
- ★ Equilibrium in a Sphere $R = r_0 A^{1/3}$
($r_0 = 2.0$ fm)
- ★ AMD w.f. and \mathcal{H} (Volkov)
- ★ Harmonic Approx.
- ★ Metropolis Sampling

● Caloric Curve



G: $T = \frac{2}{3}(E/A - 2)$ MeV
L: $T = 2\sqrt{E/A}$ MeV

● Heat Capacity



Multifragmentation ?
Canonical
→ upto 9-body

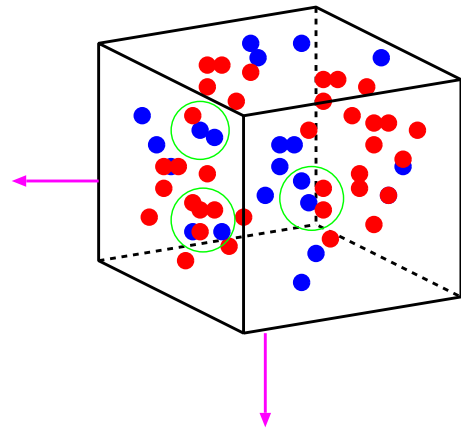
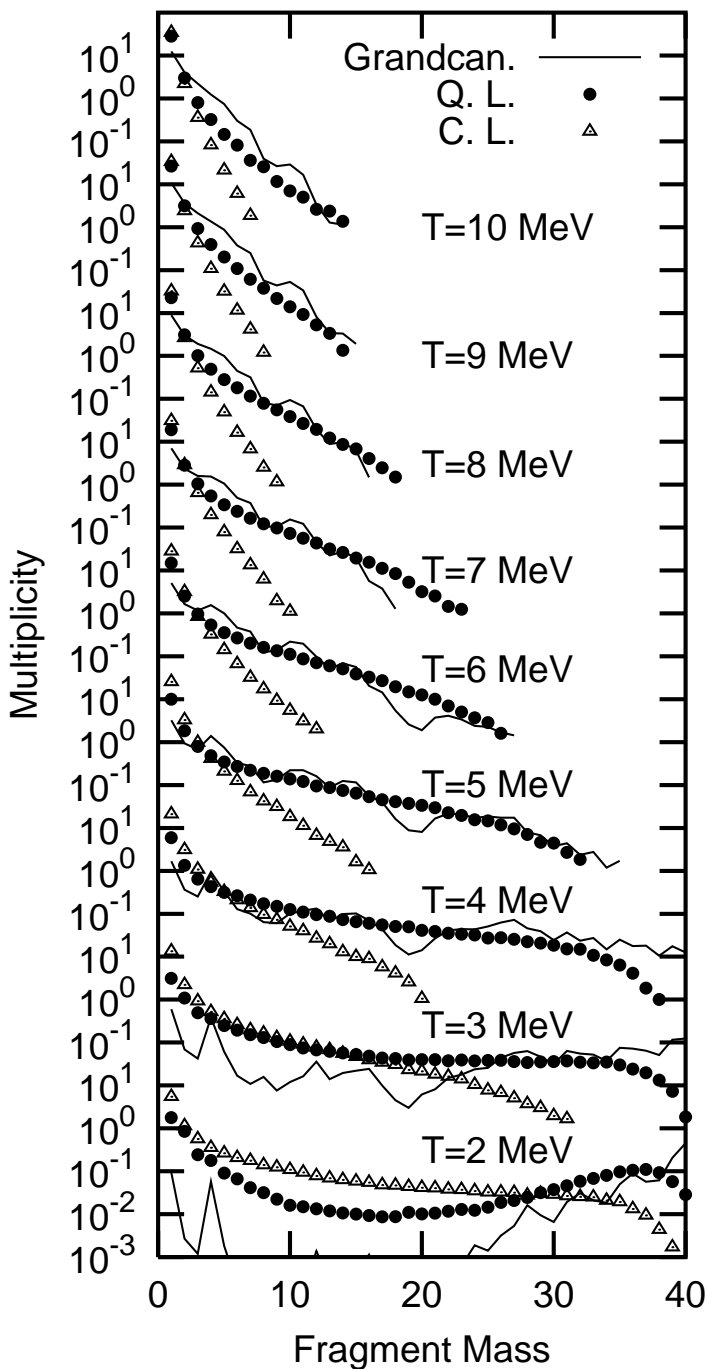
Thermal Fragmentation of Nuclei

(A.O. and J. Randrup, PL B394('97), 260)

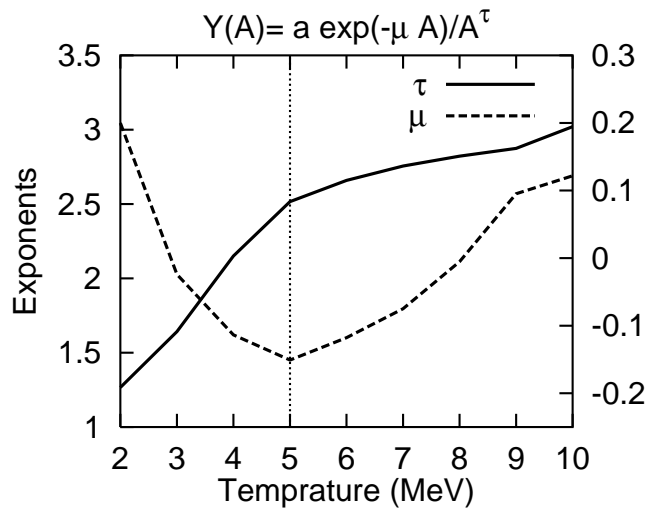
- ★ Equilibrium in a Box with Periodic B.C.
- ★ Time-Average by using QMD (Gogny) + Q.L.

● Mass Dist. at Fixed T

Nuclear Mass Spectra in Box ($\rho=0.012$)



● Critical Properties



$$Y(A) \propto e^{-\mu A} / A^\tau (A \leq 15)$$

$$\tau \simeq 2.5$$

Quantal Langevin Equation at Given E

- **Equilibrium Distribution ... Q. Microcan.**

$$\phi_{\text{eq}}(\mathbf{Z}) \equiv \exp(-\mathcal{F}(\mathbf{Z})) = \langle \mathbf{Z} | \delta(E - \hat{H}) | \mathbf{Z} \rangle \neq \delta(E - \mathcal{H})$$

- **Fokker-Planck Equation: $\phi_{\text{eq}} = \text{Static Solution}$**

$$\frac{D\phi(\mathbf{Z}; t)}{Dt} = \frac{\partial}{\partial \mathbf{q}} \cdot \left(\mathbf{M} \cdot \frac{\partial \mathcal{F}}{\partial \mathbf{q}} + \mathbf{M} \cdot \frac{\partial}{\partial \mathbf{q}} \right) \phi, \quad \{\mathbf{q}\} = \{\mathbf{r}, \mathbf{p}\}$$

$$\mathbf{M} = \mathbf{g} \cdot \mathbf{g} : \quad \text{Mobility Tensor}$$

- **Equivalent Langevin Equation at Fixed E**

$$\dot{\mathbf{p}} = \mathbf{f} - \beta_{\mathcal{H}} \mathbf{M}^p \cdot (\mathbf{v} - \mathbf{u}) + \mathbf{g}^p \cdot \zeta^p,$$

$$\dot{\mathbf{r}} = \mathbf{v} + \beta_{\mathcal{H}} \mathbf{M}^r \cdot \mathbf{f} + \mathbf{g}^r \cdot \zeta^r,$$

Drift

Diffusion

- ★ **Effective Inverse Temperature:**

$$\beta_{\mathcal{H}} \equiv \frac{\partial \mathcal{F}}{\partial \mathcal{H}} \approx \frac{\mathcal{H} - E}{\sigma_E^2} \quad (\text{Harm. Approx. to } \langle \mathbf{Z} | \delta(E - \hat{H}) | \mathbf{Z} \rangle)$$

... Drift Term Acts as a Energy Recovering Force

- ★ **\mathbf{u} : Local Collective Velocity \approx Classical**

- ★ **$\langle \zeta_i(t) \zeta_j(t') \rangle = 2\delta(t - t') : \text{White Noise}$**

- **Intrinsic Distortion of Wave Packets ... $\sqrt{\delta(E - \hat{H})} | \mathbf{Z} \rangle$**

Canonical-type Distortion is used.

$$\frac{d\mathbf{p}}{d\tau} = -\frac{2\Delta p^2}{\hbar} (\mathbf{v} - \mathbf{u}), \quad \frac{d\mathbf{r}}{d\tau} = \frac{2\Delta r^2}{\hbar} \mathbf{f}$$

until $\mathcal{H} = E$ before making an observation

Soluble Example

- Distinguishable Particles in a Harmonic Oscillator (A.O. and J.Randrup, AOP 253('97),279.)

★ Number of States = Phase Volume

$$\Omega(E) = \frac{(E + N - 1)!}{E! (N - 1)!} = \frac{\Gamma(E + N)}{\Gamma(E + 1)\Gamma(N)}$$

$$\frac{1}{T} \equiv \frac{\partial}{\partial E} \log(\Omega(E))$$

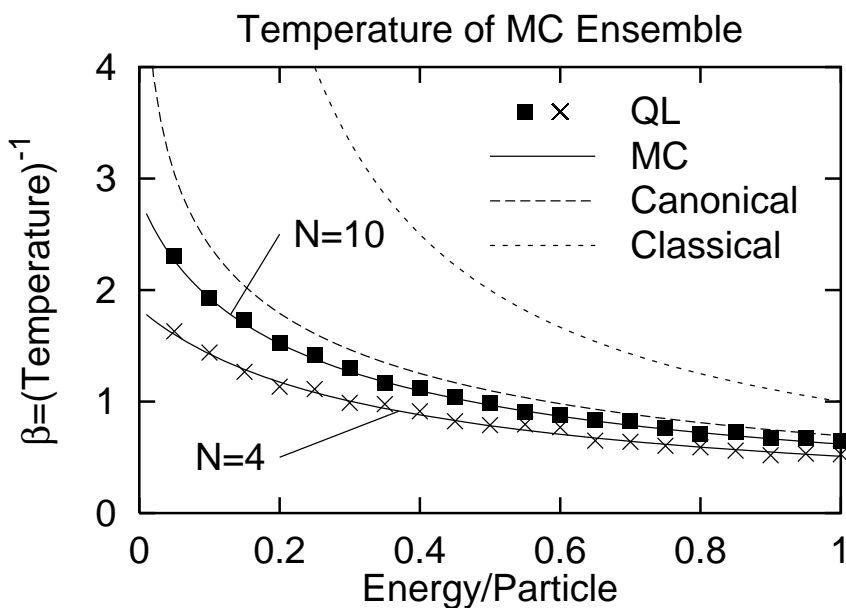
★ Harm. Approx. to $\langle \mathbf{Z} | \delta(E - \hat{H}) | \mathbf{Z} \rangle$

$$\rho_E(\mathbf{Z}) \equiv \langle \mathbf{Z} | \delta(E - \hat{H}) | \mathbf{Z} \rangle \approx e^{-\mathcal{H}} \frac{\mathcal{H}^E}{\Gamma(E + 1)}$$

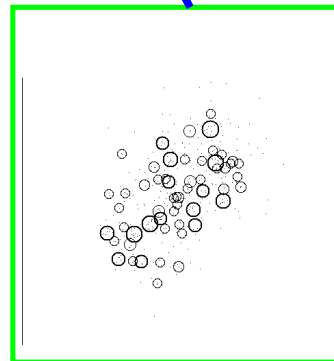
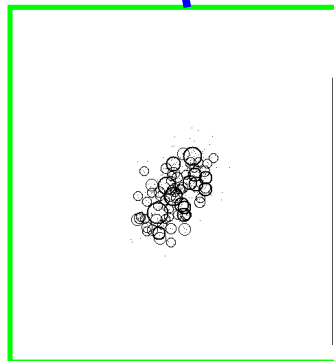
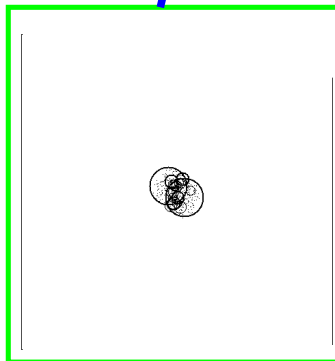
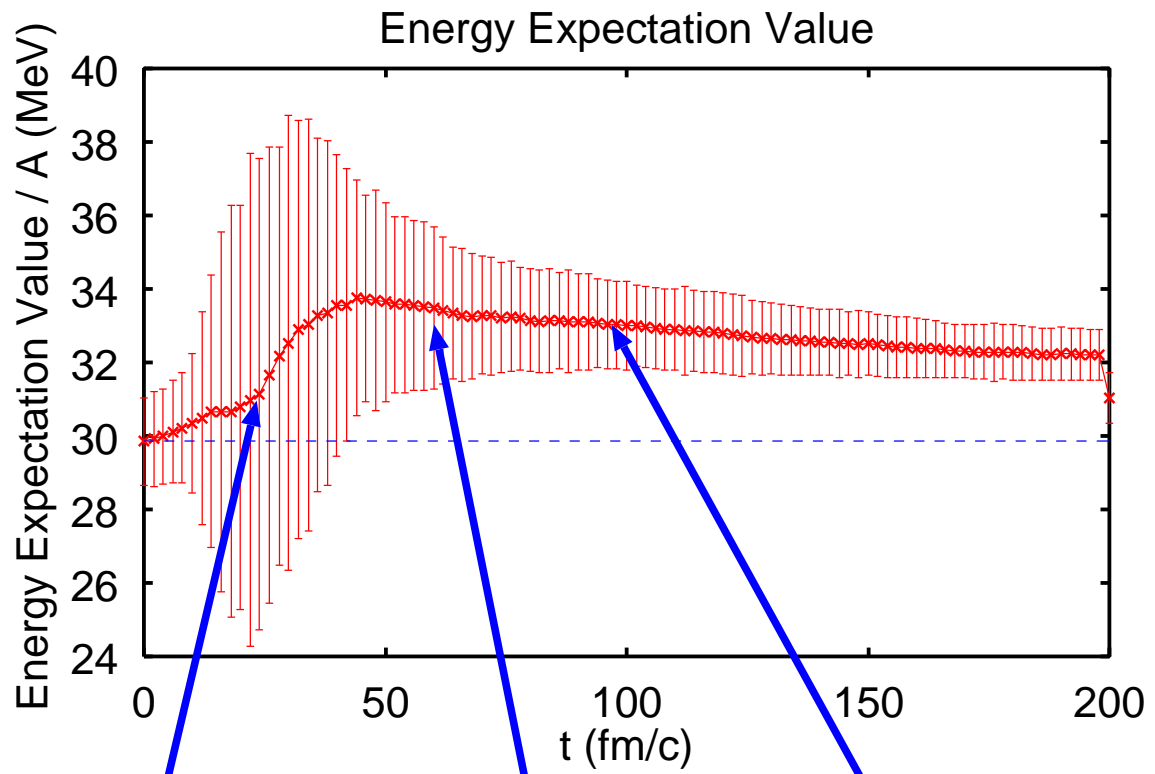
★ Quantal Langevin Model

$$\frac{1}{T} \equiv \frac{1}{\Omega(E)} \int d\Gamma \rho_E(\mathbf{Z}) \beta_E(\mathbf{Z}) \approx \langle \beta_E(\mathbf{Z}) \rangle_{TimeAverage}$$

$$\beta_E(\mathbf{Z}) \equiv \frac{\partial \log(\rho_E(\mathbf{Z}))}{\partial E} > \beta_{\mathcal{H}}$$

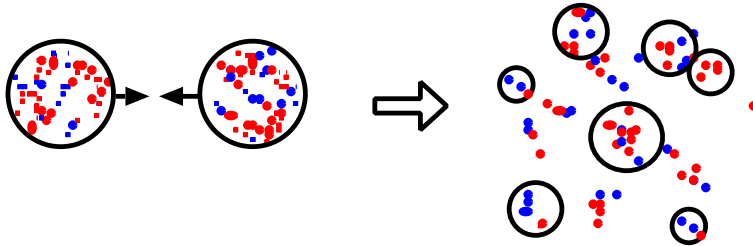


- Example of Energy Fluctuation



Multifragmentation from Au+Au (I)

– IMF Multiplicity

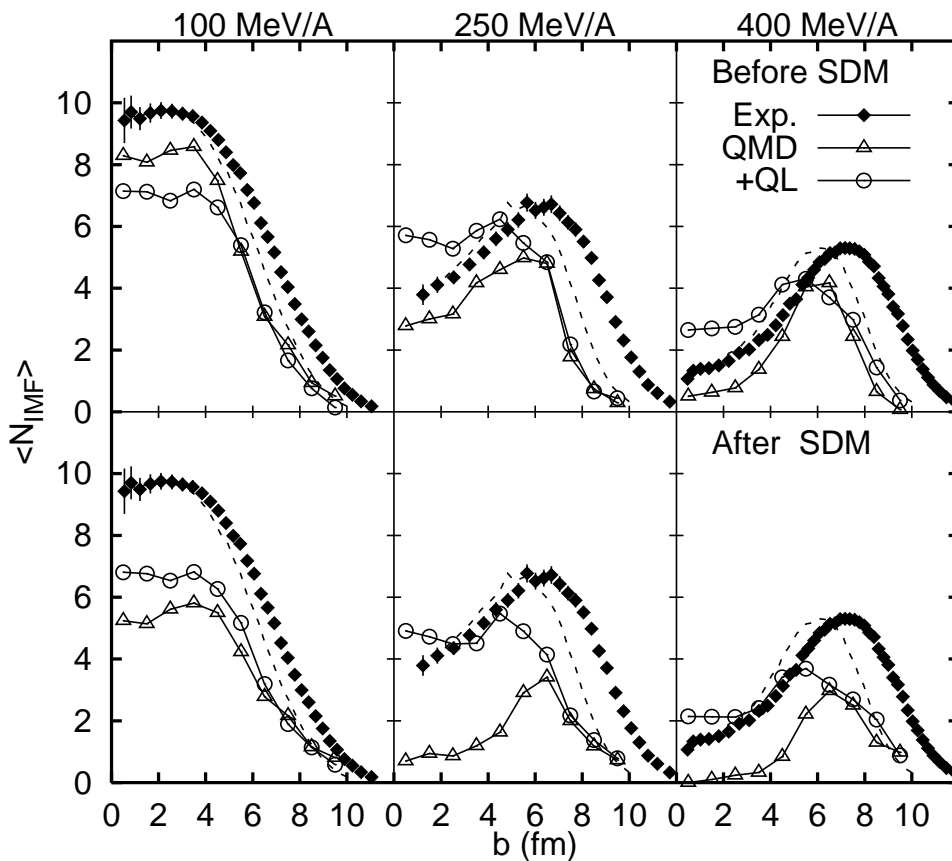


• MSU/ALADIN Data — E_{inc} and b -dependence

M.B.Tsang et al., PRL 71 ('93), 1502.

A.O. and J. Randrup, PL B394('97), 260.

c.f. Iwamoto et al. PTP 98('97),87, Barz et al. PLB 359('96),261.



★ Exp.: b_{imp} sort = PM, $3 \leq Z_{imf} \leq 30$

★ Calc.: QMD, Gogny+Pauli, No Det. Eff. is incl.

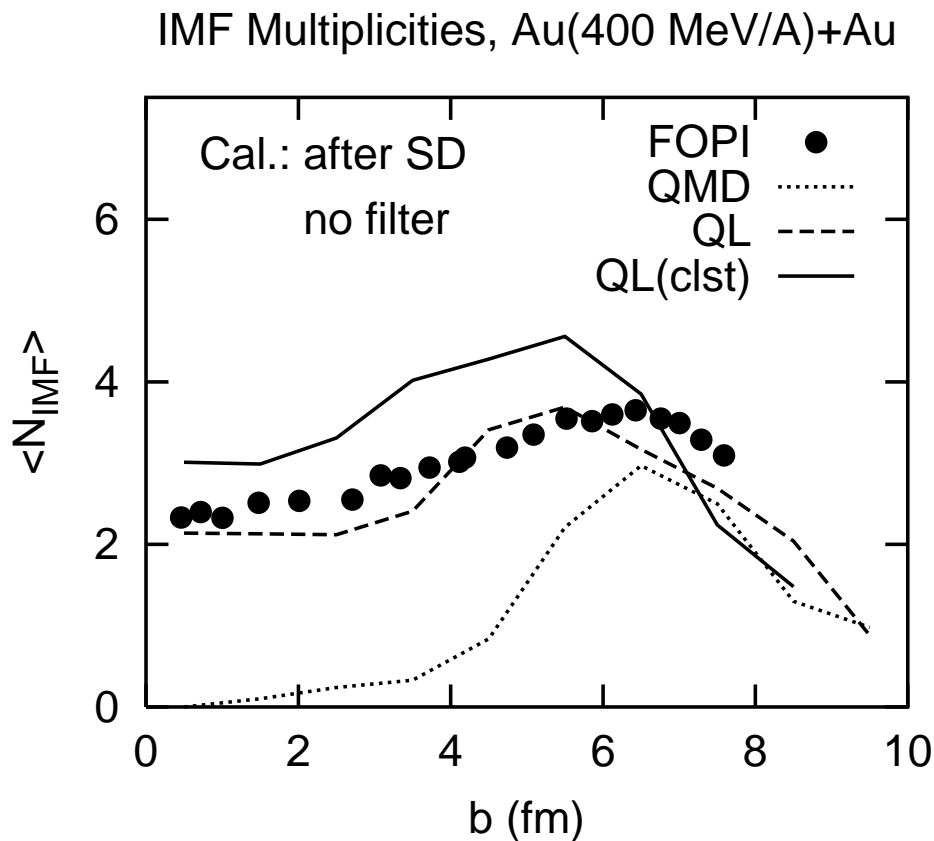
→ Dynamically Produced Fragments are cool enough to Survive Statistical Decay in QMD-QL !

Multifragmentation from Au+Au (II)

– Comparison with New Data

• FOPI Data b -dependence at $E_{inc}=400$ MeV/A

W. Reisdorf et al., NP A612 ('97), 493



★ Exp: b_{imp} sort = ERAT, $3 \leq Z_{imf} \leq 15$

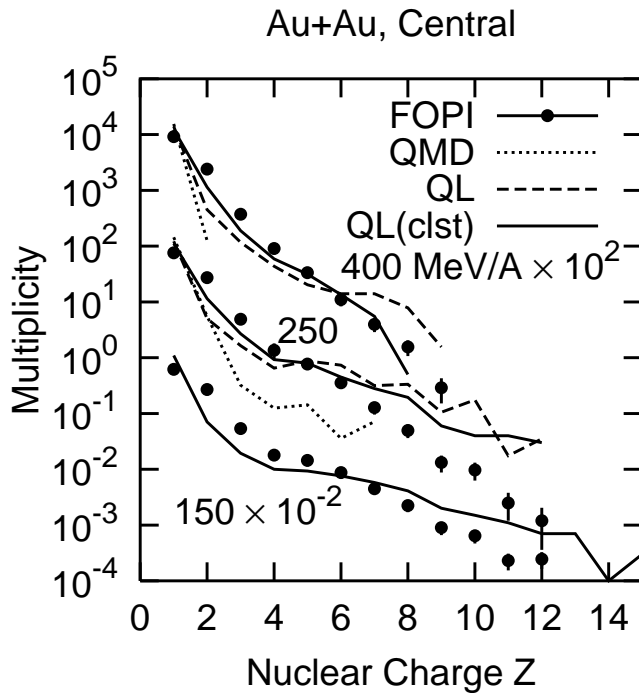
★ Calc.: QMD, Gogny+Pauli, No Det. Eff. is incl.

★ QL(clst): with Cluster-Cluster coll.

→ Flatter b dependence with ERAT sort

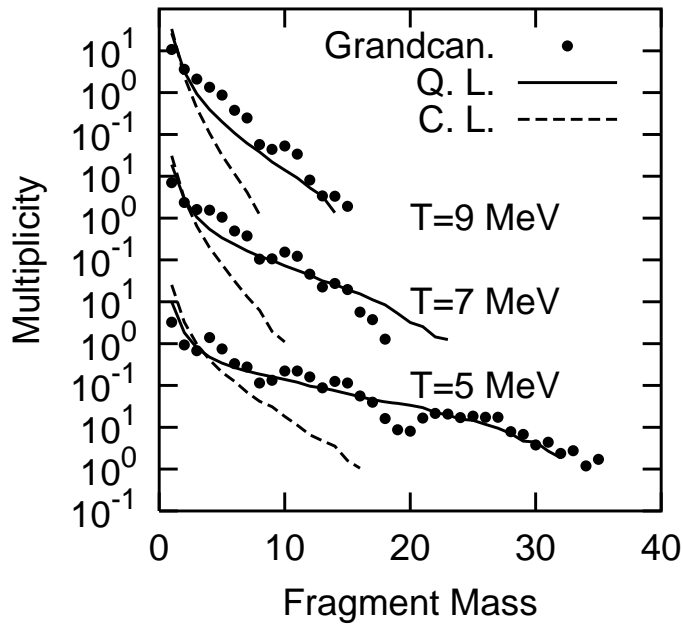
Charge and Mass Distribution

- Heavy-Ion Collision: Non-Equilibrium Formation



- Statistical Sampling: Formation at Equilibrium

Nuclear Mass Spectra in Box ($\rho=0.012$)



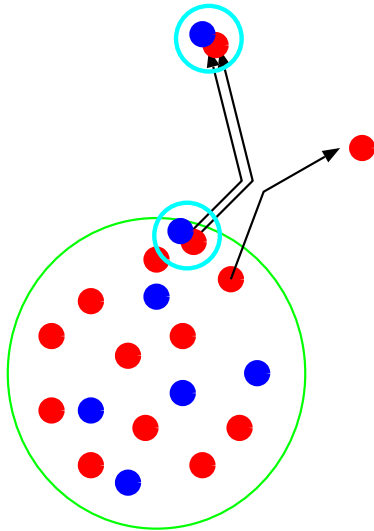
→ Are fragments produced after equilibrium is reached ?

● **Cluster-Cluster Scattering**

Danielewicz and Bertsch, NP A533 ('91), 712: (d, t, h)

Ono et al., PRC 47 ('91), 2652: (N α)

Y. Nara et al. PL B346 ('95), 217: ($K^- \alpha \rightarrow \pi_{\Lambda}^4 H$)



Cluster-Cluster (or N) Scattering

* **Black Disc Ang. Dist. & σ**
are assumed

* **Seed of IMFs**

* **Only 0s clusters are considered**

● **Light Charged Particle Multiplicity**

... Large underestimate for A=3

